

O poměru tensí par nad fází stabilní a metastabilní.*)

Viktor Trkal.

Před 40 lety uveřejnil prof. F. Koláček pojednání¹⁾ „Über die Beziehung des Gefrierpunktes von Salzlösungen zu deren Spannkraftgesetze“, kde použil kruhového procesu, pomocí něhož se dala konstruovat křivka napětí par nad vodními roztoky solí pro každou temperaturu ležící pod bodem mrazu čisté vody, byl-li znám její průběh nad tímto bodem. Brzo potom poukázal H. Hertz²⁾ na to, že by se pomocí téhož procesu dalo vypočítati napětí páry nad přechlazenou vodou ze známého průběhu napětí páry nad ledem.

Tato poznámka dala popud prof. Koláčkovi k další práci³⁾ „Über Dampfspannungen“, v níž Koláček (před 36 lety) — prvý, pokud mi známo, — odvodil vzorec pro poměr tensí (napětí, tlaků) rasycených par nad vodou (přechlazenou) a ledem při téže temperatuře, v tomto tvaru:⁴⁾

$$\frac{p_w}{p_e} = \left(\frac{T}{T_1} \right)^m e^{m \frac{T_1 - T}{T}}, \quad (1)$$

kdež p_w značí napětí nasycených par nad přechlazenou vodou za

*) Předneseno (ve zkrácené formě) na týdenní schůzi Jednoty česko-slovenských matematiků a fysiků 12. listopadu 1921.

¹⁾ Wied. Ann. d. Phys. u. Chem. 15, pp. 38—45, (1882).

²⁾ Wied. Ann. 17, p. 197 (pozn. pod čarou), (1882).

³⁾ Wied. Ann. 29, pp. 347—352, (1886).

⁴⁾ Wied. Ann. 29, p. 349, (1886). — Do tohoto vzorce se vložila v originále tisková chyba; místo správné hodnoty zde v textu uvedené jest v originále chyběně vytisknuto: $p_w/p_e = (T/T_1)^m e^{\frac{m}{T_1} \frac{T-T_1}{T}}$.

temperature T, p_e napětí nasycených par nad ledem za téže teploty, $T_1 = 273^\circ C$, $e = 271828\dots$ základ přirozených logaritmů, dále pak⁵⁾)

$$n = \frac{c_e - c_w}{A p_1 v_1} T_1, \quad m = \frac{A}{A p_1 v_1} [s + (c_e - c_w) T_1],$$

při čemž $s = 79.25$ cal. jest skupenské teplo tání ledu, $A = 1/424$ kalorický ekvivalent práce, $p_1 = (p_e)_{T_1} = (p_w)_{T_1} = 4.6 \text{ mm Hg}$ napětí nasycených par nad vodou (ledem) v bodě tuhnutí (tání) T_1 , $c_w = 1$ (specifické teplo vody při teplotě T_1), $c_e = 0.5037$ (spec. teplo ledu při teplotě T_1 dle Persona⁶⁾) a $v_1 = R_1 T_1 / p_1 = 1000 : 4.9$.

Později r. 1899 zabýval se tímto thematem M. Thiesen⁷⁾ a odvodil první (nejhrubší) přiblížení obecného vzorce (a také Koláčkovy formule), t. j. formuli (18).

V r. 1920 uveřejnil J. Narbutt práci „Reduzierte Umwandlungs- und Schmelztemperaturen“, v níž mimo jiné dochází k jiné formuli⁸⁾ pro tentýž poměr tensí.

Učelem této práce jest odvoditi obecný vzorec⁹⁾ (jehož jedním přiblížením jest formule Koláčkova a jiným přiblížením vzorec Narbutta) pro poměr tensí nasycených par nad fází tuhou a fází tekutou přechlazenou ve tvaru (17) a z něho několik approximací, z nichž nejvýhodnější jest (22), dále poukázati na platnost jeho pro poměr tensí allotropických látek tuhých nad fází stabilní a metastabilní (anebo, co jest totéž, pro poměr rozpustnosti obou fází v libovolném rozpustidle) jakož i pro poměr „elektrolytických rozpouštěcích tensí“ dvou fází kovu a srovnati theoretické hodnoty s experimentálními.

1. Základní vztahy. Pro tlak nasycené páry nad tekutinou odvodil Clapeyron z Carnotovy theorie rovnici¹⁰⁾

$$(1) \quad r' = T (v_1 - v') \frac{dp_1}{dT},$$

kterou později poprvé přesně odvodil Clausius. Při tom r' značí

⁵⁾ Za jednotku práce běže zde prof. Koláček kilogramometr a za jednotku délky metr.

⁶⁾ Person, Mousson Physik. 2. p. 59 (1872).

⁷⁾ Wied. Ann. 67, p. 693, form. (15); (1899).

⁸⁾ Phys. Ztschr. 21, p. 348, form. (30); (1920).

⁹⁾ Viz form. (17) v této práci.

¹⁰⁾ M. Planck: Vorlesungen über Thermodynamik. 5. Aufl. Berlin u. Leipzig 1917 (Vereinigung wissenschaftlicher Verleger), p. 149, form. (111)..

vypařovací teplo jednoho gramu tekutiny, t. j. ono množství tepla, kterého jest potřebí zvenčí dodati jednomu gramu tekutiny, aby se úplně vypařil za stálé temperatury a za stálého tlaku nasycené páry; dále v_1 jest specifický objem (t. j. objem jednoho gramu) nasycené páry nad tekutinou za temperatury T , v' specifický objem tekutiny, nad níž má tato nasycená její pára tlak p_1 .

Ve mnohých případech¹¹⁾ lze specifický objem tekutiny (v') zanedbati vůči specifickému objemu nasycené páry (v_1) a kromě toho předpokládati pro tuto nasycenou páru platnost stavověrné rovnice ideálních plynů

$$(2) \quad mp_1v_1 = R T,$$

kde m značí molekulární váhu páry a R absolutní plynovou konstantu. Potom rovnice (1) přejde ve tvar

$$(3) \quad r' = \frac{R}{m} \frac{T^2}{p_1} \frac{dp_1}{dT}.$$

Pro rozdíl specifických tepel páry a tekutiny platí známý vztah¹²⁾

$$c_p - c_p' = \frac{dr'}{dT} = \frac{r'}{T} + \frac{r'}{v_1 - v'} \left\{ \left(\frac{\partial v_1}{\partial T} \right)_p - \left(\frac{\partial v'}{\partial T} \right)_p \right\},$$

kde c_p resp. c_p' značí specifické teplo páry při konstantním tlaku resp. specifické teplo tekutiny při konstantním tlaku.

Z tohoto vztahu plyne jednoduchá approximace, jestliže opět zanedbáme objem v' tekutiny vůči objemu v_1 nasycené páry a použijeme opět stavověrné rovnice (2). Potom

$$(4) \quad c_p - c_p' = \frac{dr'}{dT}.$$

Odtud plyne integrací, pokládáme-li c_p za konstantu,

$$(5) \quad r' = c_p T - \int^T c_p' dT + r_0',$$

kde r_0' značí integrační konstantu,¹³⁾ anebo

$$(6) \quad r' = r_{\theta}' - c_p (\theta - T) + \int_T^{\theta} c_p' dT,$$

kde r_{θ}' znamená vypařovací teplo tekutiny při temperatuře θ tuhnutí tekutiny.

¹¹⁾ M. Planck: I. c., p. 151, § 178, form. (112).

¹²⁾ M. Planck: I. c., p. 154, § 180, form. 115.

Dosadíme-li (5) do (3) resp. (6) do (3), obdržíme

$$(7) \quad d \log p_1 = \frac{m}{R} \frac{dT}{T^2} \left\{ c_p T - \int_T^T c_p' dT + r_0' \right\}$$

resp.

$$(8) \quad d \log p_1 = \frac{m}{R} \frac{dT}{T^2} \left\{ r_\theta' - c_p (\theta - T) + \int_T^\theta c_p' dT \right\},$$

při čemž \log značí přirozený logaritmus.

Integrací rovnice (7) resp. (8) obdržíme

$$(9) \quad \log p_1 = \frac{m}{R} \left\{ c_p \log T - \int \frac{dT}{T^2} \int c_p' dT - \frac{r_0'}{T} \right\} + J_1$$

resp.

$$(10) \quad \log p_1 = \frac{m}{R} \left\{ \frac{c_p \theta - r_\theta'}{T} + c_p \log T + \int \frac{dT}{T^2} \int_T^\theta c_p' dT \right\} + I_1$$

při čemž J_1 resp. I_1 značí integrační konstanty.

2. Obecný vzorec pro případ přechlazené tekutiny a její pevné fáze. O mnohých tekutinách jest známo, že se dají přehladiti, t. j. schladiti pod temperaturu tuhnutí aniž tuhnou; nejznámější příklad tohoto poskytuje voda. Při temperatuře nižší bodu tuhnutí kapaliny neobdržíme u některých tekutin za vhodných podmínek fázi tuhou (stabilní); látky tyto zůstávají i pod bodem tuhnutí kapalnými (fáze metastabilní).

Tlak nasycené páry nad fází kapalnou jsme v předešlém odstavci označili p_1 ; označme dále tlak nasycené páry nad fází tuhou p_2 a budiž r'' vypařovací teplo jednoho gramu fáze tuhé, v_2 specifický objem nasycené páry tuhou za temperaturu T , v'' specifický objem fáze tuhé. Za týchž předpokladů jako svrchu dospějeme k rovnici úplně podobné rovnici (9) resp. (10), t. j.

$$(11) \quad \log p_2 = \frac{m}{R} \left\{ c_p \log T - \int \frac{dT}{T^2} \int c_p'' dT - \frac{r_0''}{T} \right\} + J_2,$$

resp.

$$(12) \quad \log p_2 = \frac{m}{R} \left\{ \frac{c_p \theta - r_0''}{T} + c_p \log T + \int \frac{dT}{T^2} \int_T^\theta c_p'' dT \right\} + I_2,$$

kde r_0'' , J_2 , I_2 jsou integrační konstanty, r_0'' vypařovací teplo fáze tuhé při temperatuře θ jejího tání a c_p'' specifické teplo fáze tuhé při konstantním tlaku.

¹⁸⁾ Znak $\int_T^T c_p' dT$ značí neurčitý integrál bez integrační konstanty, na rozdíl od znaku $\int c_p' dT$, jenž značí zde neurčitý integrál plus integrační konst. Tohoto dvojího označení užívá se v dalším důsledně.

Odečtením rovnice (11) od (9) resp. (12) od (10) obdržíme

$$(13) \quad \log \frac{p_1}{p_2} = \frac{m}{R} \left\{ \frac{r_0'' - r_0'}{T} - \int_{T^2}^T (c_p' - c_p'') dT \right\} + I_1 - I_2$$

resp.

$$(14) \quad \log \frac{p_1}{p_2} = \frac{m}{R} \left\{ \frac{r_\theta'' - r_\theta'}{T} + \int_{T^2}^T (c_p' - c_p'') dT \right\} + I_1 - I_2$$

Při temperatuře θ tání fáze tuhé (\Rightarrow tuhnutí fáze kapalné) tlak obou nasycených par (jak nad fází tuhou tak nad fází kapalnou) jest týž, t. j. $p_1 = p_2$ pro $T = \theta$; označíme-li rozdíl $r'' - r'$ písmenem ϱ , bude skupenské tepló tání fáze tuhé

$$(15) \quad \varrho_\theta = r_\theta'' - r_\theta'.$$

Zavedeme-li ještě zkratku

$$(16) \quad c_p' - c_p'' = \gamma,$$

tu z rovnice (14) obdržíme tento vzorec:

$$(17) \quad \log \frac{p_1}{p_2} = \frac{m}{R} \left\{ \varrho_\theta \left(\frac{1}{T} - \frac{1}{\theta} \right) - \int_T^\theta \frac{dT}{T^2} \int_T^\theta \gamma dT \right\}$$

pro poměr tlaku nasycené páry nad fází kapalnou k tlaku nasycené páry nad fází tuhou. Známe-li tudiž křivku pro tlak nasycené páry pod jednou fází, můžeme ze vzorce (17) obdržeti křivku pro tlak nacené páry nad druhou fází.

3. Platnost předešlého vzorce pro stabilní a metastabilní fázi allotropických látek tuhých (kristalických). Při odvození vzorce (17) není nijak podstatné, že (kondensovaná) metastabilní fáze musí být tekutinou; proto musí uvedený vzorec platiti i v případě, že metastabilní fáze jest tuhá. Fyzikální chemie učí nás o četných případech, kdy jsou schopny existence metastabilní fáze hluboko pod temperaturou zvratu, t. j. pod temperaturou, při níž obě fáze mohou koexistovati a nad níž jest stabilní pouze jedna fáze, jež stává se metastabilní pod touto temperaturou. Máme tu tedy analogický případ systému „přechlazená voda — led“, s tím rozdílem, že obě fáze mohou existovati i nad temperaturou zvratu (přechodu). Thermodynamika těchto allotropických přeměn učí, že tensi metastabilní fáze jest vždy větší nežli tensi stabilní fáze, z čehož nutně plyne, že i rozpustnost metastabilní fáze musí být v též poměru větší než rozpustnost stabilní fáze a to v kterémkoli rozpustidle. Proto v (17) můžeme stejně dobře místo poměrů tensí $p_1 : p_2$ psati poměr rozpustnosti $c_1 : c_2$. Experimentálně lze daleko snáze určiti rozpustnost nějaké látky (methodami analytico-chemickými) než tensi její páry; můžeme tudiž s výhodou použiti údajů rozpustnosti k verifikaci odvozených vzorců.

Jelikož dále poměr tensí dvou fází kovu musí být identický s poměrem „elektrolytických rozpouštěcích tensí“ P_1, P_2 těchto fází, musí vzorec (17) platit i pro poměr $P_1 : P_2$ právě jako pro poměr tensí $p_1 : p_2$.

Ve všech těchto případech skupenskému teplu tání tuhé fáze odpovídá teplo provázející přeměnu jedné allotropické modifikace ve druhou.

Známe-li tudíž křivku rozpustnosti nebo tense pro jednu z obou allotropických modifikací (stabilní a metastabilní fáze tuhá) pod i nad bodem zvratu (temperaturou přechodu), nalezneme ze vzorce (17) křivku rozpustnosti nebo tense pro druhou modifikaci pod i nad bodem zvratu.

4. Různé stupně přiblížení. Ježto neznáme, jak závisí $\gamma = c_p' - c_p''$ na temperatuře, jsme nuceni omezit se na několik prvních přiblížení.

První přiblížení. Nejhrušší approximaci obdržíme, když vůbec zanedbáme integrál na druhé straně rovnice (17), t. j. když se spokojíme vzorcem

$$(18) \quad \log \frac{p_1}{p_2} = \frac{m}{R\theta} \cdot \varrho_\theta \cdot \frac{\Delta T}{T},$$

kde $\Delta T = \theta - T$, což jest vzorec Thiesenův.⁷⁾

Druhé přiblížení. Považujme $\gamma = c_p' - c_p'' = \gamma_\theta$ za konstantu; pak ze vzorce (17) plyne

$$(19) \quad \log \frac{p_1}{p_2} = \frac{m}{R\theta} \left\{ [\varrho_\theta - \theta \gamma_\theta] \frac{\Delta T}{T} + \theta \gamma_\theta \log \left(1 + \frac{\Delta T}{T} \right) \right\},$$

což jest přesně vzorec Koláčkův, uvedený na počátku této práce. Pro malé hodnoty poměru $\Delta T/T$ jest

$$\log \left(1 + \frac{\Delta T}{T} \right) \approx \frac{\Delta T}{T} - \frac{1}{2} \left(\frac{\Delta T}{T} \right)^2$$

a tedy

$$(20) \quad \log \frac{p_1}{p_2} = \frac{m}{R\theta} \left\{ \varrho_\theta - \frac{1}{2} \varrho_\theta \theta \frac{\Delta T}{T} \right\} \frac{\Delta T}{T}.$$

Třetí přiblížení. Položme

$$(21) \quad \gamma = c_p' - c_p'' = kT$$

kde k značí konstantu; pak $k = \gamma_\theta : \theta$, kde γ_θ jest hodnota γ pro $T = \theta$. Dosazením do (17) obdržíme po snadné úpravě

$$(22) \quad \boxed{\log \frac{p_1}{p_2} = \frac{m}{R\theta} \left\{ \varrho_\theta - \frac{1}{2} \gamma_\theta \Delta T \right\} \frac{\Delta T}{T}.}$$

Pro malé hodnoty ΔT , t. j. v okolí bodu $T = \theta$ vzorec (20) souhlasí velmi přibližně se vzorcem (22).

Čtvrté přiblížení. Položme

$$(23) \quad \gamma = c_p' - c_p'' = \alpha - 2\varepsilon T,$$

kde α, ε jsou konstanty. Potom, užijeme-li zkratky

$$(24) \quad r_0'' - r_0' = \varrho_0,$$

obdržíme ze vzorce (13) rovnici

$$(25) \quad \log \frac{p_1}{p_2} = \frac{m}{R} \left\{ \frac{\varrho_0}{T} - \alpha \log T + \varepsilon T \right\} + J_1 - J_2$$

Porovnáme-li tento výraz se vzorcem Nernstovým¹⁴⁾ pro tlak nasycené páry, uvidíme, že integrační konstanty J_1, J_2 nejsou nic jiného než Nernstovy „chemické konstanty“ (až na číselnou additivní a multiplikativní konstantu). Avšak chemická konstanta každé látky jest nezávislá na povaze kondensačního produktu, t. j. na př. pro led a vodu má tutéž hodnotu,¹⁵⁾ tudíž v rovnici (25) jest nutně

$$(26) \quad J_1 = J_2,$$

tak že rovnice (25) nabude jednoduššího tvaru

$$(27) \quad \log \frac{p_1}{p_2} = \frac{m}{R} \left\{ \frac{\varrho_0}{T} - \alpha \log T + \varepsilon T \right\}.$$

Z rovnice (5) a (23) obdržíme vztah

$$(28) \quad \varrho = r'' - r' = \varrho_0 + \int_T^T \gamma dT = \varrho_0 + \alpha T - \varepsilon T^2$$

a podobně z rovnice (6) (23)

$$(29) \quad \varrho = r'' - r' = \varrho_\theta - \int_T^\theta \gamma dT = (\varrho_\theta - \alpha\theta + \varepsilon\theta^2) + \alpha T - \varepsilon T^2.$$

Porovnáním (28) a (29) plyne

$$(30) \quad \varrho_0 = \varrho_\theta - \alpha\theta + \varepsilon\theta^2.$$

Dosazením (23) do (17) budeme mít

$$(31) \quad \log \frac{p_1}{p_2} = \frac{m}{R} \left\{ \frac{\varrho_\theta - \alpha\theta + \varepsilon\theta^2}{T} - \alpha \log T + \varepsilon T - \frac{\varrho_\theta}{\theta} + \alpha(1 + \log \theta) - 2\varepsilon\theta \right\}$$

Rovnice (31) a (27) musí být identické; povšimneme-li si rovnice (30), bude tomuto požadavku vyhověno jen tehdy, když bude

$$(32) \quad \alpha(1 + \log \theta) - 2\varepsilon\theta = \frac{\varrho_\theta}{\theta}.$$

¹⁴⁾ W. Nernst: Die theoretischen und experimentellen Grundlagen des neuen Wärmesatzes. Halle (Saale), [W. Knapp], 1918; p. 108, form. (84).

¹⁵⁾ W. Nernst, l. c., p. 104 (posl. věta v § 3), p. 136 (druhý odstavec shora).

Označíme-li γ_θ hodnotu γ plynoucí z rovnice (23) pro $T = \theta$, t. j.

$$(33) \quad \gamma_\theta = \alpha - 2\varepsilon\theta,$$

můžeme z těchto dvou posledních rovnic (32) a (33) určiti α , ε , totiž

$$(34) \quad \alpha = \frac{1}{\log \theta} \left\{ \frac{\varrho_\theta}{\theta} - \gamma_\theta \right\}, \quad \varepsilon = \frac{1}{2\theta \log \theta} \left[\frac{\varrho_\theta}{\theta} - \gamma_\theta (1 + \log \theta) \right].$$

Dosadíme-li tyto hodnoty a za ϱ_0 z rovnice (30) do (27), na- lezneme

$$(36) \quad \log \frac{p_1}{p_2} = \frac{m}{R} \left\{ \left[\varrho_\theta - \frac{\theta}{2 \log \theta} \left(\frac{\varrho_\theta}{\theta} - \gamma_\theta (1 - \log \theta) \right) \right] \frac{1}{T} \right. \\ \left. - \frac{1}{\log \theta} \left(\frac{\varrho_\theta}{\theta} - \gamma_\theta \right) \log T + \frac{1}{2\theta \log \theta} \left[\frac{\varrho_\theta}{\theta} - \gamma_\theta (1 + \log \theta) \right] T \right\}.$$

Jiné vyjádření pro $\log p_1/p_2$ obdržíme z rovnice (27); položí- mě-li v ní $T = \theta$, bude $p_1 = p_2$, a tedy

$$(37) \quad 0 = \frac{m}{R} \left\{ \frac{\varrho_\theta}{\theta} - \alpha \log \theta + \varepsilon \theta \right\}$$

Odečtením (37) od (27) vznikne vzorec

$$(38) \quad \log \frac{p_1}{p_2} = \frac{m}{R} \left\{ \varrho_0 \left(\frac{1}{T} - \frac{1}{\theta} \right) + \alpha \log \frac{\theta}{T} - \varepsilon (\theta - T) \right\},$$

anebo, zavedeme-li označení

$$(39) \quad \Delta T = \theta - T,$$

a dosadíme-li z rovnic (30) a (34) za ϱ_0 , α , ε ,

$$(40) \quad \log \frac{p_1}{p_2} = \frac{m}{R} \left\{ \left[\frac{\varrho_\theta}{\theta} \left(1 - \frac{1}{2 \log \theta} \right) - \frac{1}{2} \gamma_\theta (1 - \frac{1}{\log \theta}) \right] \frac{\Delta T}{T} + \right. \\ \left. + \frac{1}{\log \theta} \left(\frac{\varrho_\theta}{\theta} - \gamma_\theta \right) \log \left(1 + \frac{\Delta T}{T} \right) - \frac{1}{2\theta \log \theta} \left[\frac{\varrho_\theta}{\theta} - \gamma_\theta (1 + \log \theta) \right] \Delta T \right\}.$$

Páté přiblížení. Položme

$$(41) \quad \gamma = \mu T + 2\nu T^2.$$

Pak

$$(42) \quad \varrho = \int \gamma dT = \frac{1}{2} \mu T^2 + \frac{2}{3} \nu T^3 + \varrho_0,$$

kde (viz (24))

$$(43) \quad \varrho_0 = r'' - r'.$$

Dále

$$(44) \quad \int \frac{dT}{T^2} \int \gamma dT = \frac{1}{2} \mu T + \frac{1}{3} \nu T^2 - \frac{\varrho_0}{T}.$$

Avšak výraz

$$(45) \quad -T \int^T \frac{dT}{T^2} \int \gamma dT = \varrho_0 - \frac{1}{2} \mu T^2 - \frac{1}{3} \nu T^3$$

není nic jiného než rozdíl „volných energií“¹⁶⁾ obou fází, jenž zmizí pro temperaturu θ (bod přechodu). Tudiž ze (45) obdržíme

$$(46) \quad 0 = \varrho_0 - \frac{1}{2} \mu \theta^2 - \frac{1}{3} \nu \theta^3;$$

mimo to ze (42) a (41) plyne

$$(47) \quad \varrho_\theta = \varrho_0 + \frac{1}{2} \mu \theta^2 + \frac{2}{3} \nu \theta^3,$$

$$(48) \quad \gamma_\theta = \mu \theta + 2 \nu \theta^2.$$

Z těchto tří posledních rovnic (46), (47), (48) najdeme

$$(49) \quad \varrho_0 = \frac{4 \varrho_\theta - \gamma_\theta \theta}{6}, \quad \mu = \frac{2 \gamma_\theta - \gamma_\theta \theta}{\theta^2}, \quad \nu = -\frac{\varrho_\theta - \gamma_\theta \theta}{\theta^3}.$$

Dosadíme-li tyto hodnoty do (47) a do (41) a potom takto nařazené výrazy pro ϱ_θ , γ do (17), po krátké úpravě nalezneme

$$(50) \quad \log \frac{p_1}{p_2} = \frac{m}{R \theta} \left\{ \frac{4 \gamma_\theta - \gamma_\theta \theta}{6T} + \frac{1}{2\theta} (2 \gamma_\theta - \gamma_\theta \theta) \right. \\ \left. - \frac{1}{3\theta^2} (\varrho_\theta - \gamma_\theta \theta) (2T + \Delta T) \right\} \Delta T.$$

Tomuto vzorci můžeme dát ještě jiný tvar, zavedeme-li si zkratku

$$(51) \quad T : \theta = \vartheta$$

a to:

$$(52) \quad \log \frac{p_1}{p_2} = \frac{m}{R} \left\{ \frac{\varrho_\theta}{3\theta} \left(\frac{2}{\vartheta} - 3\vartheta + \vartheta^2 \right) - \frac{\gamma_\theta}{6} \left(\frac{2}{\vartheta} - 3\vartheta + 2\vartheta^2 \right) \right\},$$

což jest přesně vzorec Narbuttův, s tím toliko rozdílem, že Narbutt píše p_1 resp. p_2 místo zde užívaného p_2 resp. p_1 ; dále pak jeho γ resp. U_θ jest totéž, co zde $m\gamma_\theta$ resp. $m\varrho_\theta$.

5. Souhlas s měřeními.

I. Voda (přechlazená) — led. $[H_2O]$.

Použijeme-li těchto číselných dat:

$$R = 1.986 \pm (0.001) \text{ cal. } 15/\text{grad. mol.}^{17}), \quad \theta = 273.1,$$

$$\varrho_\theta = 79.67 \text{ cal.}^{18}), \quad (c'_p)_\theta = 1.007 \text{ cal. (pro vodu)}^{19}),$$

¹⁶⁾ W. Nernst: I. c., p. 191, form. (39).

¹⁷⁾ F. Henning, Der Zahlenwert d. Gaskonstante ZS. f. Phys. 5, p. 72, (1921).

¹⁸⁾ Landolt-Börnstein, Tabellen, 4. Aufl. 1912; tab. 184 (W. A. Roth).

¹⁹⁾ Landolt-Börnstein, Tabellen, 4. Aufl. 1912; tab. 171 (Bousfield 1911; Barnes a Cooke 1902).

$(c''_p)_\theta = 0.505$ cal. (pro led)²⁰⁾,

$\gamma_\theta = 0.502$ cal., $m = 16 + 2 \times 1.008 = 18.016$ a dále hodnot pro tensi par, které změřili Scheel a Heuse [Ann. d. Phys. (4), 29, pp. 723–737; 1909].:

t	$0^\circ C$	-2°	-4°	-6°	-8°	-10°	-12°	-14°	-16°	Pra-men
p_1 (vo-da) pozorov.	4.579 (mmHg)	3.952	3.404	2.928	2.509	2.144	1.826	1.551	1.315	Landolt-Börnstein, Tabellen, 4. Aufl. (1912), tab. 105 a, 106.
p_2 (led) pozorované	4.579 (mmHg)	3.879	3.277	2.762	2.322	1.947	1.627	1.356	1.127	

obdržíme tuto tabulkou:

t	$0^\circ C$	-2°	-4°	-6°	-8°	-10°	-12°	-14°	-16°	Pra-men
$p_1 : p_2$ pozorované	1	1.019	1.039	1.060	1.080	1.101	1.123	1.145	1.168	z hořejších hodnot
$p_1 : p_2$ vypočítané	1	1.020	1.040	1.061	1.083	1.105	1.128	1.153	1.179	dle Thiesenova vzor. 18
$p_1 : p_2$ vypočítané	1	1.019	1.039	1.060	1.079	1.102	1.124	1.146	1.169	dle našeho vzorce (22)

Ostatní vzorce, totiž vzorec Koláčkův (19), vzorec (20), (40) a vzorec Narbuttův (52) dávají téměř přesně tytéž hodnoty jako náš vzorec (22), který jest však pro numerické počítání ze všech právě uvedených a stejně hodnoty dávajících formulí nej-pohodlnější.

II. Benzol (tekutý – tuhý) [C_6H_6].

Jestliže použijeme těchto číselných dat:

$$R = 1.986,^{17)} \quad \theta = 273.1 + 5.44 = 287.54,^{21)} \quad \varrho_\theta = 30.39,^{22)}$$

$$c'_p = 0.0986 + 0.001043 T \quad (\text{v mezích } T = 273.1 \text{ až } 333.1)^{23}),$$

²⁰⁾ H. Abraham et P. Sacerdote, Recueil de constantes physiques (1913), tab. 103 a [Person 1874]. V intervalu zde uvažovaném dá se velmi přibližně specifické teplo vody resp. ledu vyjádřit takto: $c'_p = 1.280 - 0.00100 T$, $c''_p = 1.280 - 0.00284 T$; c'_p souhlasí v tomto intervalu $0^\circ C$ až $-16^\circ C$ dobré s hodnotami, které našli Barnes a Cooke; c''_p pro $T = 263.1$ dává velmi přibližně hodnotu, kterou uvádí Nernst (Ann. d. Phys. 36, (1911), p. 432).

²¹⁾ H. Abraham et P. Sacerdote, Recueil de constantes physiques (1913), tab. 111 a (G. Tammann).

²²⁾ Landolt-Börnstein, Tabellen, 4. Aufl. (1912), tab. 184 b (J. Meyer, 1910).

²³⁾ O. D. Chwolson, Lehrbuch der Physik, (Braunschweig, Vieweg & Sohn), III, (1905), p. 265, (Schiff).

$c''_p = 0.0986 + 0.000456 T$,²⁴⁾ $\gamma_\theta = 0.1553$, $m = 6 \times 12 + 6 \times 1.008 = 78.05$ a dále hodnoty pro tensi par, kterou změřil Ferche (Wied. Ann. 44, 1891).

t p	$0^\circ C$	1°	2°	3°	4°	5°	5.3°	5.44°	Pramen
p_2 (tuhý) mm	24.42	26.18	28.08	30.03	32.32	34.65	35.41	36.06	<i>Landolt-Börnstein</i> , l. c., tab. 114h
p_1 (tekutý) mm	26.48	—	—	—	—	—	—	—	

obdržíme tuto tabulku:

t	$0^\circ C$	1°	2°	3°	4°	5°	5.3°	5.44°	Pramen
$p_1 : p_2$ poz or.	1.084	1.072	1.061	1.040	1.022	1.007	1.000	1	z hořejších hodnot
$p_1 : p_2$ vypoč.	1.087	1.071	1.055	1.038	1.022	1.007	1.002	1	dle vzorce (22)

III. Paradichlorbenzol $p\text{-}C_6H_4Cl_2$ (tekutý – tuhý).

Použijeme-li těchto číselných dat:

$$R = 1.986,²⁵⁾ \theta = 273.1 + 53.03 = 329.13,²⁶⁾ \varrho_\theta = 29.5,²⁷⁾$$

$m = 6 \times 12 + 4 \times 1.008 + 2 \times 35.45 = 146.932$ a dále hodnoty pro tensi par, které naměřil Speranski:

t	p_1	p_2	Pramen
$52.3^\circ C$	125.5 mm	123.3	A. Speranski: Ztschr. f. phys. Chemie, 51, p. 48 (1905).
$51.3^\circ C$	116.9 mm	113.2	

²⁴⁾ Získáno extrapolací hodnot Nernstových (1911), H. Abraham et P. Sacerdote, l. c. tab. 105.

²⁵⁾ Viz pozn. ^{17).}

²⁶⁾ A. Speranski, Ztschr. f. phys. Chemie, 51, (1905), p. 48, 3. řádek zdola.

²⁷⁾ Hodnota o 0.4 menší než v tabulkách *Landolt-Börnstein*, l. c., tab. 180 b; srov. Speranski, l. c., p. 53.

najdeme tyto hodnoty:

t	p_1/p_2 pozor.	p_1/p_2 vypočt. dle (18)
52·3° C	1·018	1·014
51·3° C	1·033	1·035

IV. Parachlorbrombenzol $p\text{-}C_6H_4 ClBr$ (tekutý—tuhý).

Jestliže použijeme těchto číselných dat:

$R = 1·986$,¹⁷⁾ $\theta = 273·1 + 65·1 = 338·2$,²⁸⁾ $\varrho_\theta = 23·42 +$
 $+ 0·09 = 23·51$,²⁹⁾ $c''_p = 0·17066 + 0·0004998 t$,³⁰⁾ $c'_p = 0·17066 +$
 $+ 0·0008733 t$,³¹⁾ (v mezích od 64·3° C do 58·3° C), $\gamma_\theta = 0·023$,
 $m = 6 \times 12 + 4 \times 1·008 + 35·45 + 79·96 = 191·442$ a dále hodnot
 pro tensi par, které naměřil Speranski (Ztschr. f. phys. Chemie,
 51, pp. 49, 50):

t	58·3°	60·3°	62·7°	63·3°	64·3° C	Pramen
p_1	75·4 mm	85·3	95·5	98·5*	103·5*	* tabulka 5 (p. 50), ostatní viz tab. 4. (p. 49)
p_2	66·1* mm	77·1	91·2	95·1*	101·6*	

obdržíme tuto tabulku:

t	58·3°	60·3°	62·7°	63·3°	64·3° C	Pramen
p_1/p_2 pozor.	1·142	1·107	1·048	1·035	1·018	z hořejších hodnot
p_1/p_2 vypočt.	1·147	1·101	1·049	1·037	1·016	dle vzorce (22)

²⁸⁾ A. Speranski, l. c., p. 50.

²⁹⁾ J. Narbutt, Ztschr. f. Elektrochemie, 24 (1918), p. 340.

³⁰⁾ Ibidem, form. (3).

³¹⁾ Ibidem; tvořeno analogicky formuli (5).

³²⁾ A. Speranski, l. c., pp. 49, 50.

V. Ftalylfenylhydrazid (temně žlutý monoklinický — bledě žlutý orthorombický). $C_6H_4 < \begin{matrix} CO \\ CO \end{matrix} > N.N < \begin{matrix} H \\ C_6H_5 \end{matrix}$ Chattaway a Lambert³³⁾ určili rozpustnosti obou jeho modifikací. Dle odst. 3. této práce poměr rozpustností c_1, c_2 jest týž jako poměr tensí par nad oběma modifikacemi. Použijeme-li naměřených hodnot a vzorce (18), můžeme vypočítati teplo zvratu ϱ_θ , jež experimentálně nelze změřiti. Z hodnot rozpustností:

c	t	5°	8°	9°	10°	11°	15°	25° C
c_1 (temně žlutý)	2·894	3·047	3·104	3·148	3·207	3·449	4·324	
c_2 (bledě žlutý)	2·864	3·034	3·097	3·158	3·220	3·494	4·484	

atemperatury zvratu $\theta = 273\cdot1 + 9\cdot43 = 282\cdot53$ vypočteme teplo zvratu a odtud zpět zase poměr tensí par nad každou z obou modifikací:

p_1/p_2	t	5°	8°	9°	10°	11°	15°	25° C
$c_1/c_2 = p_1/p_2$ pozorováno		1·011	1·004	1·002	0·997	0·996	0·987	0·964
$c_1/c_2 = p_1/p_2$ vypočteno		1·011	1·004	1·001	0·999	0·996	0·986	0·963

Teplo zvratu jest $m\varrho_\theta = 402\cdot64$ cal. pro 1 mol čili $\varrho_\theta = 1\cdot69$ cal pro 1 gr, neboť molekulární váha činí $m = 238\cdot17$.

VI. Ftalylfenylmethylhydrazid (oranžový triklinický-bledě žlutý monoklinický) $C_6H_4 < \begin{matrix} CO \\ CO \end{matrix} > N.N < \begin{matrix} CH_3 \\ C_6H_5 \end{matrix}$

Oba právě jmenovaní autoři naměřili pro rozpustnosti obou modifikací této látky tyto hodnoty:³⁴⁾

c	t	5°	10°	15°	20°	25°	30°	35° C
c_1 (oranžový)	0·913	1·028	1·213	1·523	1·931	2·474	3·205	
c_2 (bledě žlutý)	0·705	0·819	0·999	1·302	1·697	2·239	2·922	

³³⁾ F. D. Chattaway a W. J. Lambert, Journal of the Chemical Society, (London), 107, pp. 1773--1781; (1915).

³⁴⁾ Ibidem, p. 1779.

Temperatura zvratu jest zde dle jich údaje $\theta = 273.1 + 55.1 = 328.2$. Použijeme-li vzorce (22), lze z poměru těchto rozpustností vypočítati teplo zvratu $m q_\theta = 642.36$ cal pro 1 mol čili $q_\theta = 2.557$ cal pro 1 gr., neboť molekulární váha $m = 251.18$ a rozdíl specifických tepel obou modifikací při temperatuře zvratu, totiž $\gamma_\theta = -0.04731$ cal pro 1 pr. Tak obdržíme tuto tabulkou:

t	5°	10°	15°	20°	25°	30°	35° C
$p_1 p_2$							
$c_1/c_2 = p_1/p_2$ pozorováno.	1.295	1.256	1.214	1.170	1.138	1.105	1.079
$c_1/c_2 = p_1/p_2$ vypočt. (dle (22))	1.297	1.250	1.208	1.170	1.136	1.106	1.079

VII. Cín. Sn (bílý – šedý).

E. Cohen³⁵⁾ změřil poměr „elektrolytických rozpouštěcích tensí“ obou modifikací cínu a obdržel tato čísla:

t	5°	10°	15°	18.7° C
P_1/P_2	1.067	1.043	1.017	1.000

Bod přechodu (temperatura zvratu) jest mezi 18° C a 20° C.³⁶⁾

Ze vzorce (22) lze vypočítati teplo zvratu a rozdíl specifických tepel obou modifikací cínu při temperatuře přechodu (za kterou zde přijmeme 18.7° C), neboť dle odst. 3. této práce jest poměr „elektrolytických rozpouštěcích tensí“ P_1 , P_2 obou fází kovu identický s poměrem tensí jejich par. Tak najdeme tyto hodnoty (přičemž index 1 se vztahuje k bílému a index 2 k šedému cínu):

P_1/P_2	5°	10°	15°	18.7° C
$P_1/P_2 = p_1/p_2$ poz	1.067	1.043	1.017	1
$P_1/P_2 = p_1/p_2$ vyp. dle (22)	1.067	1.041	1.017	1

³⁵⁾ Ztschr. f. phys. Chemie 30, p. 625 (1899).

³⁶⁾ Cohen, I. c., udává temperaturu přechodu 20° C, později však týž autor ve statí o cínu, kterou napsal do díla: Abbeg's Handbuch der anorganischen Chemie III. 2. p. 547, posl. odst. (r. 1909) uvádí pro tuto temperaturu asi 18° C.

$m\varrho_\theta = 763 \cdot 40$ cal, $m = 118 \cdot 7$, $\varrho_\theta = 6 \cdot 43$ cal, $\gamma_\theta = -0 \cdot 0056$ cal; přijmeme-li za specifické teplo bílého cínu při temperatuře zvratu hodnotu Gaede-ovu³⁷⁾ 0,0541 cal, bude specifické teplo šedého cínu při téže teplotě 0,0597 cal, což jest v dobrém souhlasu s hodnotou Wigandovou³⁸⁾ jenž našel pro střední specifické teplo šedého cínu mezi 0° C a 18° C číslo 0,0589 cal. Dle toho bylo by, jak výše již uvedeno, teplo zvratu asi 6,43 cal. (při 18,7° C, což jest temperatura zvratu).

Ke konci pak konám milou povinnost vyslovuje vřelý dík za zvláštní zájem, radu a pomoc, kterou provázeli tuto práci pánové Dr. Sophus Holst-Weber, továrník v Lejdě, jakož i profesori Karlovy university Dr. F. Záviška a Dr. J. Heyrovský.

Ústav pro theoretickou fysiku Karlovy university v Praze v červnu 1922.

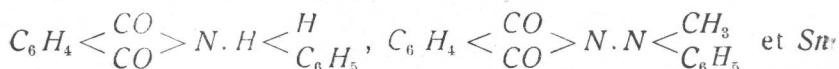
Sur le rapport des tensions des vapeurs au-dessus de la phase stable et métastable.

Par V. Trkal.

L'auteur déduit, pas des considérations de thermodynamique, la formule générale (17) (p_1 =tension de la vapeur au-dessus de la phase stable [métastable], p_2 =tension de la vapeur au-dessus de la phase métastable [stable], m =poids moléculaire, R =constante absolue de l'équation des gaz parfaits, ϱ_θ =chaleur de transformation, T =température absolue, Θ =température de transformation, γ_θ =différence entre les chaleurs spécifiques des deux modifications d'une substance au point de transformation).

Les approximations diverses (I-V) de cette formule donnent les formules (18), (19), (22), (40), (52); la formule la plus pratique parmi ces approximations est l'expression nouvelle (22).

La comparaison de la formule (22) avec les résultats expérimentaux confirment très bien la théorie. Grâce à l'équation (22), on peut calculer ϱ_θ et γ_θ pour les substances suivantes:



(phthalylphenylhydrazide) (phthalylphenylméthylhydrazide).

³⁷⁾ Ch. D. Hodgman, M. F. Coolbaugh and C. E. Sensem: Handbook of Chemistry and Physics, 8th ed., London (Chapman and Hall Ltd.); 1921; p. 399.

³⁸⁾ Ibidem, p. 400.